

تعیین سن کریستالها با روش آشکارسازی ردپای پاره‌های شکافت:  
استفاده از آن بر روی آپتیمهای بافق

رافیک و ارت طابیان

مرکز تحقیقات هسته‌ای  
سازمان انرژی اتمی ایران

چکیده

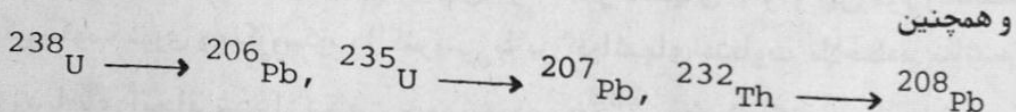
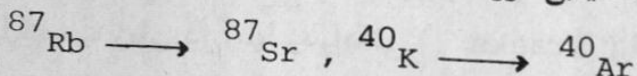
در این کار تحقیقاتی در پخش اول روش آشکارسازی ردپای پاره‌های شکافت بطور کلی تعریف و تشریح شده است. در مرحله بعد از این روش برای اندازه‌گیری سن آپتیمهای بافق (کرمان) بکار برده شده است. ذرا این اندازه‌گیری ۹۸۳۳ ردپای پاره‌های شکافت خودبخودی و ۴۲۱۱ ردپای پاره‌های شکافت القایی بصورت مطلق شمارش گردیده، که از این شمارش‌ها خطای آماری مطلوبی بدست آمده است. میانگین نتایج بدست آمده عبارتست از:

$$t = (85.87 \pm 4.94) \times 10^6 \text{ yr}$$

طرز تهیه و محاسبه خطای آماری این اندازه‌گیری تشریح و درباره آن بحث گردیده است.

مقدمه:

بطور کلی اکثر روش‌های تعیین سن مواد براساس تجزیه هسته مادر به هسته دختر مواد پرتوza بنا شده‌اند، که از این انتقال می‌توان سن نمونه را تعیین نمود. برای مثال برخی از تجزیه‌هایی را که در سالیابی مورد استفاده قرار می‌گیرند، ملاحظه می‌نمائیم:



از این روابط با تعیین فراوانی نسبی هسته‌های مادر و دختر در یک نمونه مناسب می‌توان سن نمونه را پیدا نمود.

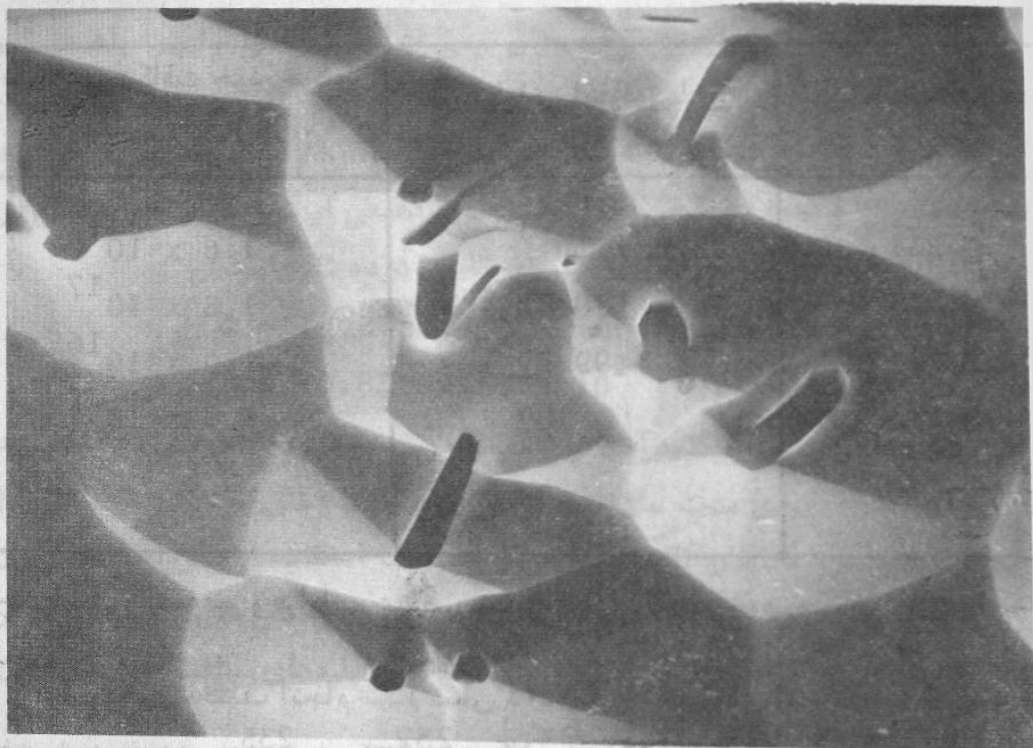
روش ردپای پاره‌های شکافت برای سالیابی براساس شمارش ردپای پاره‌های شکافت در کریستالها، شیشه‌ها و سنگ‌های آسمانی می‌باشد. این روش برای اولین بار در سال

۱۹۵۸ توسط سیلک و بارن بكمک یک میکروسکوپ الکترونی در روی ورقه‌های مایکا ملاحظه گردید (۱) . پس از آن فلاشیر و پرایس (۲) نشان دادند که روش مذکور می‌تواند در آزمایشات مربوط به برآورد سن کریستالها در بررسی‌های سالیابی مورد استفاده قرار گیرد . از روش فوق در سالیابی نمونه‌های آپاتیت ، سفن ، زیرکون ، کوارتز و غیره نیز استفاده شده است (۳) .

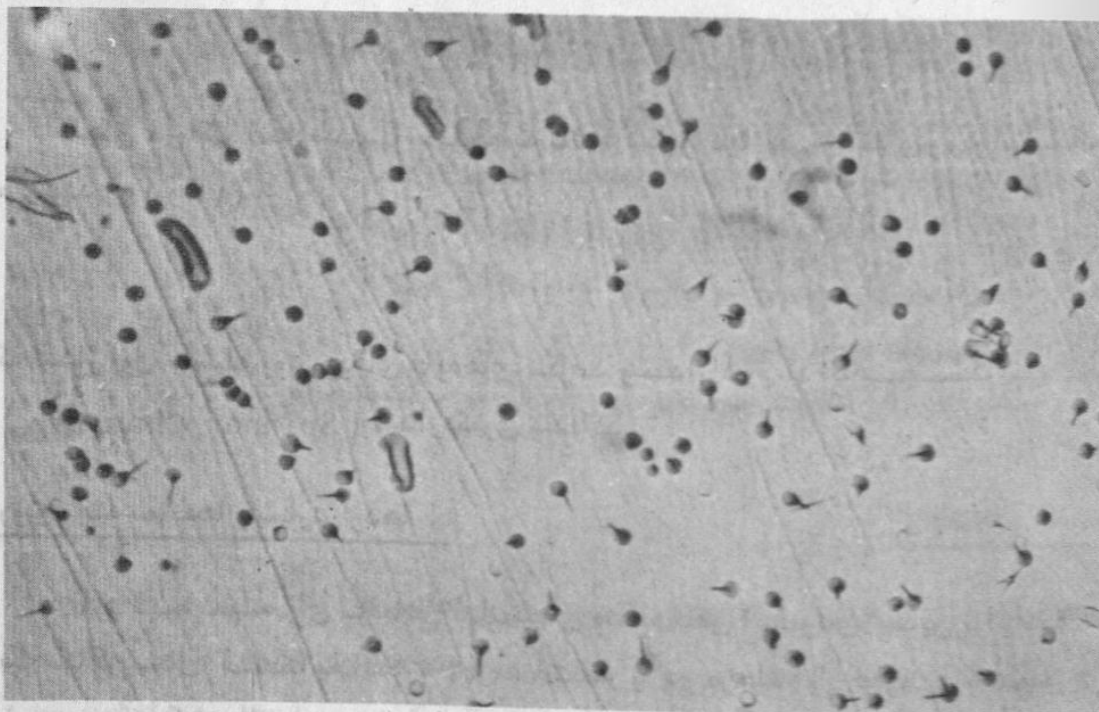
همانطوریکه در بالا ذکر شد سالیابی با روش آشکارسازی ردپای پاره‌های شکافت براساس شمارش تعداد ردها در نمونه که از شکافت خودبخودی  $U^{238}$  ایجاد شده است و همچنین شمارش تعداد ردپاهای ناشی از تابش  $U^{235}$  با نوترون‌های حرارتی انجام می‌پذیرد . در این مقاله ابتدا به تشریح روش‌های بالا می‌پردازیم و از آن برای سالیابی آپاتیتهای بافق (کرمان) استفاده شده است .

## شکافت خودبخودی اورانیوم - ۲۳۸

اورانیوم طبیعی از ۷۲٪  $U^{238}$  ، ۲٪  $U^{235}$  ، ۰.۹۹٪  $U^{234}$  و ۰.۰۵٪ ایزوتوپ  $U^{234}$  تشکیل شده که هر سه این ایزوتوپها پرتوزا (رادیواکتیو) هستند و بوسیله ساطع نمودن ذرات آلفا و شکافت خودبخودی تجزیه می‌شوند . ضریب ثابت ( $\lambda_f$ ) برای شکافت خودبخودی  $U^{238}$  در مقایسه با ضریب ثابت ( $\lambda_q$ ) برای تجزیه آلفا آن ایزوتوپ بسیار ناچیز می‌باشد و در بیشتر اوقات از آن صرف نظر می‌شود . پاره‌های شکافت ( Fission Fragments ) ایجاد شده از شکافت خودبخودی  $U^{238}$  با ضریب ثابت مخصوص این ایزوتوپ در کریستالها ، سنگهای آسمانی ، شیشه‌ها و غیره با گذشت زمان در آنها ردپاهای ( Tracks ) ایجاد می‌نمایند که بوسیله شمارش این ردپاهای می‌توان سن نمونه را تعیین کرد . در شکلهای ۱ و ۲ این نوع ردپاهای را در میکروسکوپ نوری و میکروسکوپ الکترونی با بزرگنمایی‌های متفاوت ملاحظه می‌نمائیم . در مورد ردپاهای ایجاد شده از شکافت خودبخودی  $U^{238}$  می‌توان گفت ، تقریباً " تنها ردپاهای مهمی هستند که در کریستالها و نمونه‌ها وجود دارند که در کره زمین پیدا شده‌اند . البته عناصر دیگری نیز وجود دارند که بوسیله تجزیه خودبخودی در نمونه‌ها ایجاد ردپا می‌نمایند ، لیکن یا مقدار آنها کم است و یا ضریب ثابت تجزیه و یا شکافت خودبخودی آنها بسیار کوچک می‌باشد . در جدول شماره ۱ فراوانی و نیمه‌عمر خودبخودی ایزوتوپهای اورانیوم و توریم را که بوسیله هاید (۹) جمع‌آوری شده ملاحظه می‌نمائیم .



شکل ۱ - عکس میکروسکوپ نوری از آپاتیت دورانگو (مکزیک) که برای مدت ۳۰ ثانیه در  $\text{HNO}_3$  در حرارت ۲۰ درجه سانتیگراد خورش شیمیایی انجام شده است.  
(بزرگنمائی ۴۰۰ مرتبه)



شکل ۲ - آپاتیت جزیره هرمز (ایران) که بمدت ۳۶۰ ثانیه در  $\text{HNO}_3$  در حرارت ۲۰ درجه سانتیگراد خورش یافته است در زیر میکروسکوپ الکترونی با بزرگنمائی ۲۰۰۰ مرتبه نشان داده شده است.

| هسته اتم | فراوانی ایزوتوپها       | نیمه عمر شکافت خودبخودی<br>(بر حسب سال) |
|----------|-------------------------|---|
| U-234    | $5.6 \times 10^{-3} \%$ | $1.6 \times 10^{16}$                    |
| U-235    | 0.72 %                  | $1.8 \times 10^{17}$                    |
| U-238    | 99.27 %                 | $1.0 \times 10^{16}$                    |
| Th-232   | 100 %                   | $1.0 \times 10^{21}$                    |

جدول ۱ - نیمه عمر و فراوانی عناصر سنگین برای شکافت، خودبخودی (۹).

برآوردهای مختلف انجام شده نشان داده‌اند که رדיواکتیویتی ایجاد شده بوسیله شکافت خودبخودی  $U^{235}$ ،  $Th^{232}$  کلاً کمتر از ۵٪ تمام رداکتیویتی هستند که در بیشتر نمونه‌ها وجود دارند.

مقدار ضریب ثابت برای شکافت خودبخودی  $U^{238}$  بوسیله دانشمندان زیادی با روش‌های متفاوت اندازه‌گیری شده است که مقدار این ثابت مابین دو عدد زیر قرار گرفته:

$$5 \times 10^{-17} \text{ yr}^{-1} \geq \lambda_f \geq 12 \times 10^{-17} \text{ yr}^{-1}$$

لیکن در اکثر اندازه‌گیریها با توجه به تأیید شدن آنها یکی از مقادیر زیر استفاده می‌شوند (۱۰ و ۱۱) :

$$\lambda_f = (6.85 \pm 0.20) \times 10^{-17} \text{ yr}^{-1}$$

$$\lambda_f = (8.4 \pm 0.1) \times 10^{-17} \text{ yr}^{-1}$$

که مقدار اول بوسیله روش رداکتیویتی پاره‌های شکافت و مقدار دوم با اطاق‌کاسپینر ( Spinner Chamber ) اندازه‌گیری شده‌اند.

#### روش تهییه نمونه‌ها و شمارش ردها :

طرز تهییه نمونه برای سالیا بی آپاتیت‌های منطقه بافق اسفوردی \* بدین قرار است: یک تک کریستال آپاتیت به اندازه  $4 \times 2$  سانتی‌متر را در مرحله اول عمود بر محور  $z$  (  $z$  = محور کریستال ) به ضخامت‌های در حدود ۵ میلی‌متر بصورت ورقه‌های با یک‌اره

\* به نقشه ایران مراجعه شود

دقیق ( Macrotome ) برویده شده، سپس نیمی از این نمونه را برای ردپاهای خودبخودی و نیم دیگر برای ردپاهای القائی مورد استفاده قرار داد. بمنظور ایجاد ردپاهای القائی کریستالهای برویده شده را در درجه حرارت ۶۰۰ درجه سانتیگراد در کوره بازبخت ( Anneal ) نموده و سپس آنها تحت فلوی دقیقی از نوترونهای حرارتی در مرکز تحقیقات اطربش ( سایبرزدورف ) به قرار زیر تابش داده شده است.

$$n_1 = (7.87 \pm 0.25) \times 10^{14} \text{ n/cm}^2$$

$$n_2 = (6.85 \pm 0.18) \times 10^{14} \text{ n/cm}^2$$

پس از تابش نمونهای در راکتور، کلیه آنها را ابتدا بخوبی صیقل داده، سپس در اسید نیتریک ( ۶۵ % ) HNO<sub>3</sub> برای مدت ۳۰ ثانیه در درجه حرارت اطاق، خورش ( etch ) انجام شده است. سپس ردپاهای ظاهر شده در کریستال با استفاده از میکروسکوپ نوری لایتس ارتولان با بزرگنمایی ۱۰۰۰ مرتبه ( با استفاده از روغن میکروسکوپی ) شمارش گردیدند. با استفاده از رابطه سالیابی برای روش ردپاهای پارههای شکافت، سن کریستال ( برحسب سال ) تعیین می گردد.

$$(1) \quad t = \frac{1}{\lambda_\alpha} \ln(1 + \frac{\lambda_\alpha \cdot \sigma_f \cdot I \cdot n}{\lambda_f}) - \frac{p_s}{p_i}$$

که در معادله بالا ضریب ثابت برای تجزیه آلفای U<sup>235</sup> (  $\lambda_\alpha = 1.54 \times 10^{-10} \text{ yr}^{-1}$  ) ، ضریب ثابت برای شکافت خودبخودی U<sup>238</sup> (  $\lambda_f = 8.4 \times 10^{-17} \text{ yr}^{-1}$  ) و نسبت سطح مقطع شکافت U<sup>235</sup> برای نوترونهای حرارتی ( بارن  $\sigma_f = 582$  ) و نسبت ایزوتوبی U<sup>238</sup>/U<sup>235</sup> (  $I = 7.26 \times 10^{-3}$  ) می باشد. مقادیری که در فرمول بالا باید اندازه گیری شوند به این قرارند:

$$n = \frac{p_s}{p_i} \quad (\text{n/cm}^2)$$

تعداد ردپاهای حاصل از شکافت خودبخودی و القائی بر سانتیمترمربع

### محاسبات و یافته ها:

نتایج حاصل از شمارش ردپاهای در کریستالها و محاسبات آماری آنها در جدول شماره ۲ ملاحظه می شوند. چون در طول لوله حاوی نمونهای فلوی نوترون متغیر است باید برای نمونهای تابش داده شده دو فلوی متفاوت در نظر بگیریم. با محاسبه میانگین

$p_s/p_i$  یعنی:

$$(2) \quad (\overline{\frac{p_s}{p_i}}) = 2.33 \pm 0.43$$

و ضرب آن با فلوهای مختلف و با درنظر گرفتن فاکتور مساوازه آماری  
خواهیم داشت: Statistical Weighting Factor )

$$(3) \quad \frac{\left( \frac{p_s}{p_i} \cdot n \right)}{\sum_{j=1}^4 g_j} = \frac{\sum_{j=1}^4 g_j \left( \frac{p_s}{p_i} \right)_j}{\sum_{j=1}^4 g_j} = 17.18 \times 10^{14} \text{ n/cm}^2$$

با استفاده از معادله (۱) و مقدار معادله (۲) و ضریبها ثابت برای سن آپاتیت بافق خواهیم داشت:

$$t = (85.87 \pm 4.94) \times 10^6 \text{ yr}$$

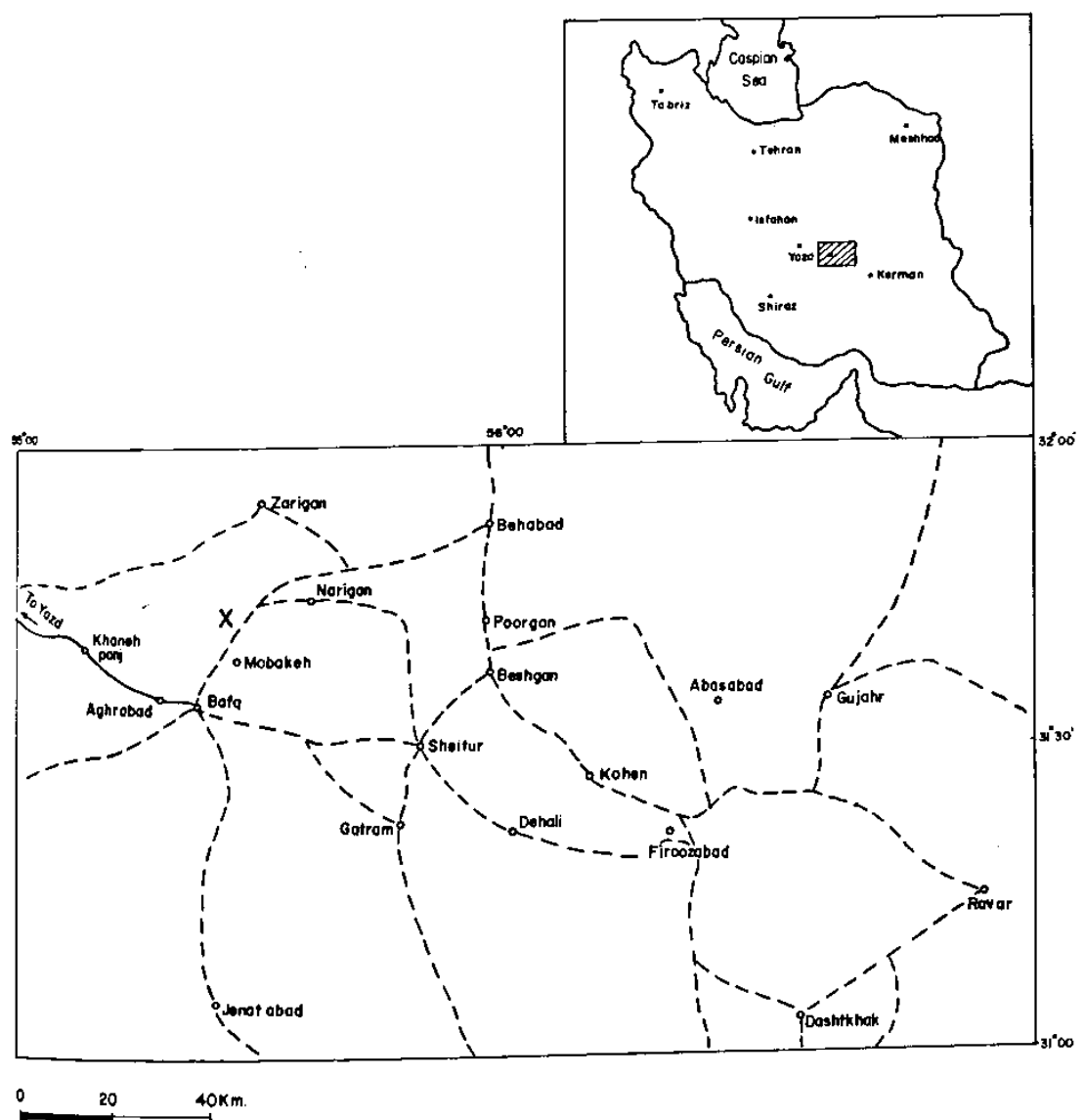
منبع اصلی خطای سن آپاتیتها انتگرال فلوی نوترونهای حرارتی  $n$  و نسبت  $\frac{p_s}{p_i}$  در زمان شمارش ردهای را می‌باشد.

### نتیجه‌گیری

روش سالیابی بوسیله آشکارسازی ردهای پاره‌های شکافت یک روش ساده و خیلی ارزان و در ضمن دقیق می‌باشد. این روش برای اولین بار روی آپاتیت‌های منطقه بافق کرمان مورد ارزیابی قرار گرفته و نتایج بدست آمده کاملاً "مورد قبول بوده است. جهت اطمینان بیشتر به نتایج، نمونه‌هایی از این کریستالها به دانشگاه اینسبروک (اطریش) ارسال شدند با روش‌های متداول مورد سالیابی قرار گیرد (۱۲). نتایج بدست آمده در اطریش کاملاً با نتایج بدست آمده توافق دارند. شماره ردهای در حد ممکن با دقت زیاد انجام گرفته و نمونه یا فلوی انتگرال دقیقی تابش داده شده‌اند.

| نحوه سوار | سند زدن سایه ای مطابق با |       | سند زدن سایه ای مطابق با |            | اسکرال ملسوی<br>بوزوینی حرارتی | $\frac{P_s}{P_i}$ | $\frac{A}{A_i}$ | نامور مواد |
|-----------|--------------------------|-------|--------------------------|------------|--------------------------------|-------------------|-----------------|------------|
|           | $P_s$                    | $P_i$ | $P_s$                    | $P_i$      |                                |                   |                 |            |
| ۱         | ۴۳۶۰                     | ۱۱۷۵  | ۵۹/۲۶۲۱/۱۷               | ۴۶/۰۴۲۰/۷۶ | ۴/۴۷۶۲/۰A۰                     | ۷/۸۲۵۰/۲۳         | ۱۷ AY۲۰ ۶۴      | ۰/۴۶۲      |
| ۲         | ۴۴۸۰                     | ۱۰۲۰  | ۵۵/۰۹۲۱/۱۲               | ۴۳/۶۱۲۰/۷۲ | ۴/۴۴۲۲/۰A۷                     | ۶/۸۲۵۰/۱۸         | ۱۲ AA۲۰ ۶۰      | ۰/۴۴۲      |
| ۳         | ۴۴۶۷                     | ۱۰۲۳  | ۵۷/۱۰۵۱/۱۳               | ۴۴/۴۸۲۰/۷۵ | ۴/۴۳۲۲/۰A۷                     | ۷/۸۲۵۰/۲۵         | ۱۸ AA۲۰ ۶۸      | ۰/۴۵۱      |
| ۴         | ۴۴۲۶                     | ۱۰۱۷  | ۵۶/۱۵۲۱/۱۲               | ۴۳/۳۴۲۰/۷۲ | ۴/۴۳۲۲/۰A۹                     | ۶/۸۲۵۰/۱۸         | ۱۶ ۴۲۲۰ ۶۰      | ۰/۴۳۲      |

جدول ۴- سایه ای محدوده و نسبت آرای تابع سایه ای (کیمان) و اسکرال ملسوی بوزوینی حرارتی استفاده شده.



شکل ۱- محل شمونه آبانتیهای بافق ( اسپوردی ) در نقشه ایران با علامت (x) مشخص شده است .

References:

1. Silk, E.C.H. and Barnes, R.S.: Examination of fission fragment tracks with an electron microscope, Phil. Mag., Vol. 4, p.970-972 (1959).
2. Fleischer, R.L. and Price, P.B.: Techniques for geological dating of minerals by chemical etching of fission fragment tracks, Geochim. et. Cosmochim. Acta, Vol.28, p. 1705-1714 (1964).
3. Naeser, C.W.: The use of apatite and sphene for fission track age determination, Geological Society of America Bulletin, Vol.78, p.1523-1526 (1967) .
4. Wagner, G.A.: Spuren der spontanen Kernspaltung des U<sup>238</sup> als Mittel zur Datierung von Apatiten und ein Beitrag zur Geochronologie des Odenwaldes, N. Jb. Miner., Band 110, p. 252-286 (1969).
5. Wagner, G.A.: Spaltspurenalter von Mineralen und natürlichen Glasern:  
Eine Uebersicht, Fortschr. Miner., Band 49, p.114-145 (1972).
6. Maerk, E., Pahl, M. and Maerk T.D.: Fission-track Alter von Durango Apatit, Mexiko, Contr. Mineral and Petrol, Vol. 32, p. 147-148 (1971).
7. Vartanian, R., Maerk, T.D., Pahl, M. and Purtscheller, F.: Fission Track age determination of apatite from the Hormoz Island, Iran. Ber., nat.-med. Ver. Innsbruck, Band 63, p. 7-10 (1976).
8. Koark, H.J., Maerk, T.D., Pahl, M., Purtscheller,

- F., and Vartanian, R. Fission-track dating of apatites in Swedish Precambrian apatite iron ores, Bulletin of the Geological Institutions of the University of Uppsala, N.S., Vol. 7, p. 103-108 (1978).
9. Hyde, E.K., The nuclear properties of the heavy elements. Bd III, Fission Phenomena, Prentice Hall, Englewood, New Jersey (1964).
  10. Fleischer, R.L. and Price, P.B.: Decay constant for spontaneous fission of  $U^{238}$ , Phys. Rev., 133 B, p. 63-64 (1964).
  11. Spandavecchia, A. and Hahn, B., Die Rotationskammer und einige Anwendungen, Helv. Phys. Acta, 40, p. 1063-1079 (1967).
  12. Ritter, W., Kronthaler, F., Girstmair, A. Vartanian, R., Koark, H.J., Purtscheller, F. and Mark, T.D.: Fissiontrack temperature-ages. To be published in 12 Int. Conf. on SSNTD (1983).

AGE DETERMINATION OF CRYSTALS USING FISSION TRACK  
METHOD; APPLICATION TO BAFQ UPATITE SAMPLES

R.Vartanian

Nuclear Research Center

Atomic Energy Organization of Iran,  
P.O.Box 3327, Tehran, Iran.

Abstract

In the present investigation first the fission track technique for age determination has been described and afterwards the method has been applied on samples of apatite crystals from Bafq (Kerman). In this measurement 9833 spontaneous and 4211 induces tracks were counted respectively, providing a reasonably low statistical error for the calculation. The results obtained show the age of the crystals to be :

$$t = (85.87 \pm 4.94) \times 10^6 \text{ yr}$$

The technique of preparation and statistical sources of error are described and discussed.